

ЭЛЕКТРОННОЕ СТРОЕНИЕ ПРИМЕСИ Ce^{3+} В КРИСТАЛЛАХ SrF_2

© А.Б.Соболев, А.Н.Вараксин, А.Ю.Кузнецов

Уральский политехнический институт,
620002 Екатеринбург, Россия
(Поступила в Редакцию 3 ноября 1995 г.
В окончательной редакции 15 апреля 1996 г.)

Приведены результаты исследования электронной структуры примеси Ce^{3+} в кристалле SrF_2 с учетом поляризации и релаксации решетки. Расчеты проводились методом внедренного кластера, основанным на синтезе метода рассеянных волн и метода молекулярной статики. Обсуждается влияние на результаты расчетов размеров рассматриваемых кластеров и учета деформации решетки, производимой заряженными дефектами. Проведено исследование пространственной структуры цериевых центров в флюорите стронция, сделан вывод об энергетической выгодности компенсации цериевого центра междуузельным ионом галоида, находящимся в позиции «nearest neighbor».

Ионы Ce^{3+} являются активаторами в ряде химических соединений. В настоящее время известно большое количество диэлектриков с примесями Ce^{3+} , являющихся эффективными сцинтилляторами и широко используемых в качестве твердотельных детекторов ионизирующего излучения [1].

Особенности взаимодействия электромагнитного излучения с подобными кристаллами определяются переходом $4f$ -электрона Ce^{3+} в возбужденное состояние $5d$. Конечным этапом диссипации энергии возбуждения в этом случае является разрешенный в дипольном приближении переход $5d \rightarrow 4f$.

По-видимому, наиболее исследованными из подобных объектов как в экспериментальном [1–3], так и в теоретическом [4–6] аспектах являются кристаллы с относительно простым кристаллическим строением (структурой флюорита): CaF_2 , SrF_2 , BaF_2 , SrCl_2 . В последние годы появились новые эффективные сцинтилляторы: $\text{Lu}_2\text{SiO}_5 : \text{Ce}$ [7], $\text{Gd}_2\text{SiO}_5 : \text{Ce}$ [8], $\text{LuAlO}_3 : \text{Ce}$ [9] и др., — имеющие сложную кристаллическую структуру. Теоретические исследования электронной структуры современных цериево-содержащих сцинтилляторов являются сейчас актуальной и практически значимой задачей, поскольку до сих пор нет полной ясности в понимании механизмов люминесценции в этих объектах. Также выявлены некоторые проблемы, ограничивающие использование этих кристаллов в качестве сцинтилляционных детекторов [10].

Для понимания особенностей электронного строения подобных систем полезными могут быть результаты относительно простых кластерных расчетов [11]. Данные методы позволяют описать взаимодействие широко делокализованных 5d-состояний примесного иона с окружением, однако вопрос о точном количественном описании взаимного положения 4f- и 5d-состояний заслуживает специального изучения, поскольку ответ на него сильно зависит от вычислительной схемы, лежащей в основе кластерной модели.

Цель данной работы состояла в изучении электронного строения примеси Ce³⁺ в кристалле SrF₂. Данный кристалл может служить тестовой системой для понимания возможностей существующих методов в описании спектров поглощения и эмиссии редкоземельного иона в широком классе диэлектриков.

1. Параметры расчетов и постановка задачи

Кристаллы SrF₂ относятся к пространственной группе O_h⁵ (структурная группа флюорита). При введении примеси редкоземельного элемента (РЗЭ) она замещает в структурной группе SrF₈ ион стронция с образованием кубического центра (локальная симметрия дефекта O_h). При этом необходимо рассматривать ситуацию, связанную с зарядовой компенсацией замещения двухвалентного иона трехвалентным. Зарядовая компенсация может осуществляться различными способами, в том числе неконтролируемыми примесями роста. Экспериментальные данные свидетельствуют о том, что в номинально чистых кристаллах эта компенсация осуществляется путем образования локально компенсированных центров [Ce³⁺–F_i⁻], где F_i⁻ — междуузельный ион галоида [3,5], причем преобладающими в этом случае могут являться тетрагональные и тригональные центры. В первом случае зарядокомпенсирующий ион галоида занимает ближайший кубический интерстициал (nearest neighbor (NN-позиция)), локальная симметрия C_{4v}, а во втором — следующий за ближайшим интерстициалом (next nearest neighbor (NNN-позиция)), локальная симметрия C_{3v}.

При проведении моделирования электронного строения примеси Ce³⁺ в кристаллах SrF₂ мы пытались проанализировать проблему в двух аспектах.

1) Примесь Ce³⁺, замещающая регулярный ион Sr²⁺, является заряженным дефектом относительно идеальной решетки. При этом эффекты релаксации окружающих ионов могут играть важную роль в формировании электронного строения самой примеси [4]. В действительности заряженный дефект Ce³⁺ компенсируется междуузельным ионом F_i⁻ [3]. В результате образуется нейтральный дефект, который не поляризует дальнние от дефекта области кристалла, но сильно искажает ближайшее окружение.

2) При описании спектра иона в кристалле используется большое количество приближений; зачастую степень влияния на результат внутренних погрешностей модели неясна. В этом плане принципиально важным является выяснение возможностей метода расчета описывать электронное строение изолированного иона.

Далее приведены полученные нами результаты с учетом обсуждения указанных вопросов.

2. Расчет электронного строения изолированного иона Ce³⁺ в рамках метода рассеянных волн

Как известно, метод рассеянных волн (РВ) основан на приближении функционала локальной плотности и при учете SIC (self-interaction correction) дает описание основного состояния многоэлектронной системы, но, строго говоря, неприменим к описанию возбуждений [12]. Кроме этого релятивистские эффекты для иона Ce³⁺, которые не учитываются в нашем варианте программы, играют важную роль во взаимном расположении 5d- и 4f-состояний. По оценке [11], величина релятивистского сдвига составляет приблизительно 4.6 eV. Очевидно, указанные эффекты носят квазиатомный характер и могут быть проанализированы на примере рассмотрения электронного строения изолированного иона.

Для расчетов электронного строения изолированного иона Ce³⁺ мы использовали метод РВ в кластерном варианте в сравнении с данными, полученными с использованием известных программ расчетов атомов (ионов). Рассматривалась квазимолекула — ион Ce³⁺, окруженный восьмью вакансиями V, представляющими собой пустые сферы «muffin-tin» (МТ), имеющие симметрию O_h. Использовались следующие параметры парциального разложения: $l_{\max}(\text{Ce}^{3+}) = 3$ и $l_{\max}(V) = 1$.

МТ-радиус Ce³⁺ варьировался в пределах 1.2–1.4 Å при сохранении расстояния Ce³⁺–пустая сфера (вакансия) равным 1.5 Å.

Для расчетов 4f¹-состояния иона Ce³⁺ один электрон помещался на молекулярную орбиталь (МО) a_{2u} , а для расчетов 5d¹-состояния Ce³⁺ МО t_{2g} заселялась одним электроном (табл. 1). Сопоставление данных в колонках А, В табл. 1 показывает, что учет релятивистских

Таблица 1

Энергетические параметры (eV) свободного иона Ce³⁺ по данным расчетов различными методами

Энергии	A	B	C	D	E
$E(4f)$	−37.81	−42.85	−37.9	−27.6	−27.8
$E(5d)$	−29.59	−30.48	−29.9	−35.7	−35.6
D_E	8.22	11.37	8.0	8.1	8.2
P_E	5.7	8.57	—	—	11.21*

П р и м е ч а н и е. $P_E = E(5d) - E(4f)$ — энергия 4f–5d-перехода, полученная как разность полных энергий; $D_E = E(5d) - E(4f)$ — энергия 4f–5d-перехода, полученная как разность одноэлектронных энергий. * Расчет с учетом переходного состояния. А — полностью релятивистский метод Хартри–Фока, В — нерелятивистский метод Хартри–Фока, С — программа расчетов атомов [13], релятивистский вариант, D — то же, что и С, нерелятивистский случай; Е — кластерный метод рассеянных волн, нерелятивистский случай. Данные А, В предоставил Андриессен (J. Andriessen, IRI Delft) на основании расчетов по программе Gaussian. Данные С цитируются по работе [11]. За нуль отсчета энергии в колонках D, Е принята энергия Ce³⁺, 5s-состояния. Экспериментальное значение энергии поглощения свободного иона Ce³⁺ составляет ≈ 6.2 eV [4].

эффектов в $4f$ -оболочке при использовании программ, основанных на приближении Хартри-Фока, является существенным для корректного описания энергии поглощения иона Ce^{3+} . При этом разумное согласие с экспериментом наблюдается только в том случае, если пользоваться разностью полных энергий. Результаты, приведенные в колонках С, D, получены методами, основанными на локальном приближении к обменно-корреляционному потенциалу. Применение процедуры переходного состояния дает величину для оценки перехода $E_{4f} - E_{5d}$, близкую к той, которая получается в методе Хартри-Фока без учета релятивистских эффектов. Однако для дальнейших рассуждений наиболее интересным является тот факт, что в этом случае разность одноэлектронных энергий близка к той, которая получается в полностью релятивистском методе Хартри-Фока.

По-видимому, данный результат является следствием компенсации релятивистских эффектов введением локального обменно-корреляционного потенциала. Подобные соображения о том, что простой метод Хартри должен быть приемлемым при нерелятивистском рассмотрении, высказывались для РЗЭ еще в 1972 году [14]. Полученные данные дают нам основание использовать метод РВ при описании иона Ce^{3+} в кристаллах, пользуясь для оценок экспериментальных параметров спектров эмиссии и поглощения разностью одноэлектронных энергий, полученных в основном состоянии без учета релятивистских эффектов. Полученные в этом случае оценки энергий поглощения должны быть сопоставимы с результатами, которые могут быть получены в рамках полностью релятивистского метода Хартри-Фока, и давать оценку сверху (составляющую $\approx 2 \text{ eV}$) для соответствующих экспериментальных значений (табл. 1).

3. Расчеты пространственной структуры цериевых дефектов в кристалле SrF_2 методом молекулярной статики

С экспериментальной и теоретической точек зрения актуальным является вопрос о пространственной структуре простейшего комплекса-диполя ($\text{Me}^{3+}-\text{F}_i^-$).

Методом молекулярной статики с использованием компьютерного пакета MOLSTAT [15] были проведены расчеты энергий образования и пространственной структуры дефектов, обусловленных замещением иона стронция трехвалентным ионом церия в кристалле SrF_2 .

Параметры потенциалов парных взаимодействий между ионами кристалла SrF_2 взяты из [16], а параметры взаимодействия Ce^{3+} (состояние $4f^1$) с ионами фтора — из [4]. Параметр решетки (минимальное расстояние между ионами фтора) для выбранных потенциалов равен $A_0 = 2.890 \text{ \AA}$. Рассчитанные потенциалы Маделунга V^{Mad} на ионах стронция, фтора и в центре пустого междоузлия в идеальном кристалле равны -0.6905 , $+0.3715$ и -0.0525 а.и. соответственно.

Нами были рассмотрены ситуации замещения двухвалентного иона стронция трехвалентным ионом церия и одиничный ион фтора в междоузлии фторной подрешетки, а также конфигурации диполей $[\text{Ce}^{3+}-\text{F}_i^-]$, являющихся ближайшими (NN) и вторыми (NNN) соседями. Часть расчетных результатов (для диполя NN) приведена в табл. 2.

Таблица 2

Диполь NN Ce³⁺-F_i. Энергия образования диполя равна -23.96 eV

Тип иона	Координата иона в нерелаксированной решетке*			Смещение иона *			Потенциал Маделунга в нерелаксированной решетке, а.и.	Потенциал Маделунга после релаксации, а.и.
	X	Y	Z	X	Y	Z		
Ce ⁺	0	0	0	+0.049	0.000	0.000	-0.8731	-0.9456
F ⁻	1	0	0	-0.078	0.000	0.000	+0.1300	+0.3073
F ⁻	-0.5	0.5	0.5	+0.011	-0.020	-0.020	+0.4722	+0.3883
F ⁻	0.5	0.5	0.5	-0.052	+0.030	+0.030	+0.3715	+0.3938
F ⁻	1.5	0.5	0.5	+0.020	+0.024	+0.024	+0.2708	+0.3725
Sr ²⁺	-1	1	0	-0.007	+0.005	0.000	-0.6431	-0.6850
Sr ²⁺	0	1	1	-0.005	+0.019	+0.019	-0.6668	-0.6919
Sr ²⁺	1	0	1	+0.012	0.000	-0.028	-0.7440	-0.6886
Sr ²⁺	2	0	0	-0.030	0.000	0.000	-0.7818	-0.6927
Sr ²⁺	-2	0	0	0.000	0.000	0.000	-0.6601	-0.6868
F ⁻	-1.5	0.5	0.5	+0.004	+0.001	+0.001	+0.4113	+0.3755
F ⁻	-0.5	0.5	1.5	-0.006	+0.001	-0.006	+0.3978	+0.3754
F ⁻	0.5	0.5	1.5	-0.003	+0.003	-0.001	+0.3715	+0.3670
F ⁻	1.5	0.5	1.5	-0.002	0.000	+0.001	+0.3452	+0.3652
F ⁻	2.5	0.5	0.5	+0.001	+0.001	+0.001	+0.3317	+0.3647

* Координата и смещение заданы в единицах параметра решетки A_0 .

Таблица 3

Основные параметры электронного строения иона Ce³⁺(4f¹) в кристалле SrF₂ по данным кластерного моделирования (eV)

Относительные энергии	Симметрия O_h			Симметрия C_{4v}
	[CeV ₆ F ₈] без учета релаксации	[CeV ₆ F ₈] с учетом релаксации	[CeSr ₁₂ V ₁₂ F ₃₂] с учетом релаксации	
Ce ³⁺ : $E(4f^1) - F2p$	1.77	3.19	1.30	2.51
Ce ³⁺ : $E(4f^1) - E(5d)$	6.84	6.91	6.06	6.47
$E(e_g) - E(t_{2g})$	1.07	1.19	0.92	1.27

В [4] проведены расчеты разности энергий связи NN- и NNN-цериевых комплексов в кристаллах CaF_2 и BaF_2 . Они оказались равными 0.886 и 0.209 eV соответственно. Наше значение (0.42 eV) для SrF_2 лежит в промежутке между этими значениями.

Известные нам экспериментальные данные [3] говорят о преимущественном образовании NN-комплексов в кристалле CaF_2 при температуре жидкого азота. Это согласуется с расчетами [4] для CaF_2 . При переходе к кристаллу SrF_2 (увеличение параметра решетки) стабильность NN-комплекса должна уменьшаться [6, 17], однако, исходя из того факта, что спектры поглощения для кристаллов $\text{CaF}_2 : \text{Ce}$ и $\text{SrF}_2 : \text{Ce}$ близки [2], и основываясь на данных наших расчетов, мы полагаем наиболее выгодным NN-комплекс и для кристалла $\text{SrF}_2 : \text{Ce}$.

NN-комплекс является в целом нейтральным дефектом кристаллической решетки; однако, будучи образованным парой «мощных» заряженных дефектов, он производит достаточно сильное искажение кристаллической решетки в непосредственной близости от себя.

Рассмотрим кратко характер и величину релаксации решетки вблизи NN-комплекса ($\text{Ce}^{3+} - \text{F}^-$) в кристалле SrF_2 . В расчетах по программе MOLSTAT мы использовали двухцентровую генерацию решетки: один центр расположен на ионе Ce^{3+} (координаты 0,0,0 в единицах A_0), второй центр находится на междоузельном ионе фтора (координаты 1,0,0). Вследствие этого координационные сферы, на которых располагаются ионы, окружающие диполь, представляют собой «гантели» с центрами в указанных ионах.

Первая координационная сфера образована двенадцатью ионами фтора, окружающими ионы Ce^{3+} и F^- . В силу условий симметрии задачи неэквивалентными из них будут три иона; их смещения приведены в табл. 2. Наибольшие по абсолютной величине смещения испытывают ионы фтора, расположенные между Ce^{3+} и F^- (x -координата этих ионов равна 0.5). Их смещения по абсолютной величине равны 6.5 % от параметра решетки A_0 . Остальные ионы первой координационной сферы имеют смещения порядка 3–4 % A_0 . Вторая координационная сфера образована тринадцатью ионами стронция, из них пять ионов располагаются вокруг междоузельного иона фтора (на расстоянии A_0 от него), а восемь ионов — вокруг иона замещения Ce^{3+} (на расстоянии $A_0\sqrt{2}$ от него). Смещения неэквивалентных ионов второй сферы приведены в табл. 2 (строки 6–9). Смещения этих ионов уже не превышают 3 % A_0 (у большинства еще меньше). В этой же таблице в строке 10 приведены смещения иона Sr, расположенного с другой стороны от Ce^{3+} . Третья сфера состоит из 32 ионов фтора, имеющих характерные x -координаты, равные –1.5 для четырех ионов, –0.5 для восьми, +1.5 для восьми и +2.5 для четырех ионов. Смещения этих ионов достаточно малы (не превышают 1 %). Следует отметить довольно большие смещения, которые испытывают ионы, образующие сам диполь: ион Ce^{3+} смещается по направлению к междоузельному иону фтора на 4.9 %, а междоузельный ион фтора смещается в сторону иона Ce^{3+} на 7.8 % A_0 (эти смещения показаны в табл. 2, строки 1 и 2).

В работе произведен также расчет постоянных Маделунга на ионах, образующих диполь, и на ионах ближайшего окружения. Данные рас-

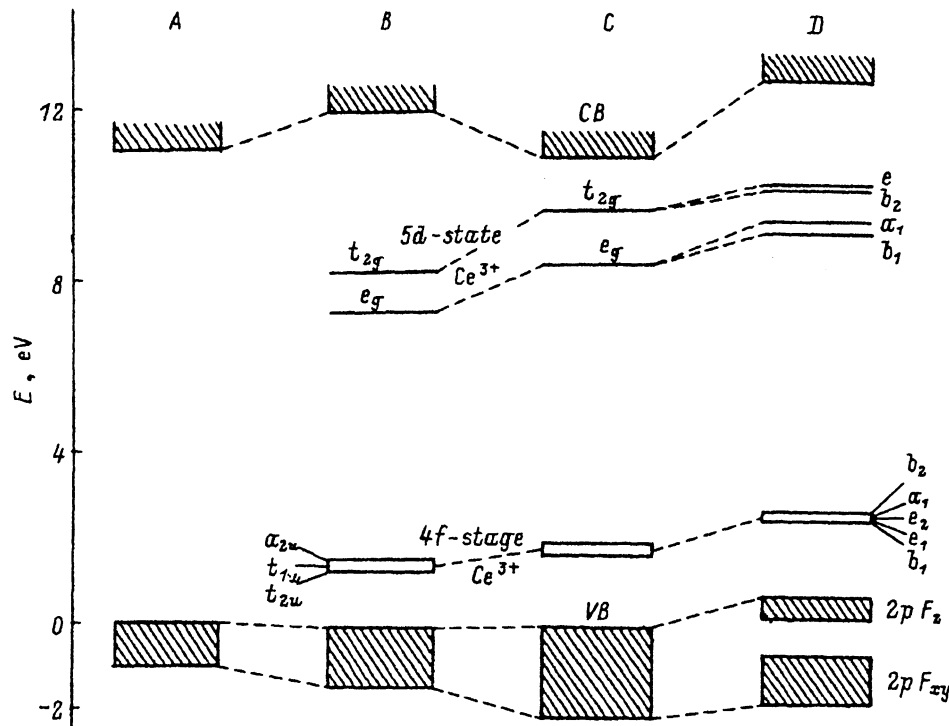
четов (табл. 2) показывают, что 1) изменение потенциала Маделунга на междоузельном ионе фтора при образовании диполя (по сравнению с потенциалом Маделунга пустого междоузлия) равно +0.3598 а.и., а на ионе Ce^{3+} (по сравнению с потенциалом Sr^{2+} в идеальной решетке) составляет -0.2551 а.и.; 2) изменение потенциала Маделунга на междоузельном ионе фтора за счет релаксации решетки составляет порядка +0.1773 а.и., аналогичное изменение потенциала Маделунга на ионе Ce^{3+} за счет релаксации оказывается вдвое меньше; 3) релаксация решетки сводит практически на нет все различия в потенциалах Маделунга окружающих ионов, существовавшие в нерелаксированной решетке.

4. Результаты кластерных расчетов примеси Ce^{3+} в SrF_2

Для моделирования примеси Ce^{3+} в кристалле SrF_2 , исходя из анализа экспериментальных данных [2,3] и опираясь на результаты расчетов методом молекулярной статики (раздел 3 настоящей работы), мы рассматривали кластеры $[\text{CeV}_6\text{F}_8]$ с точечной группой симметрии O_h и кластеры $[\text{CeV}_6\text{F}_8\text{Sr}_{12}\text{F}_{24}\text{V}_8] = [\text{CeSr}_{12}\text{V}_{12}\text{F}_{32}] (C_{4v})$, образующиеся при замещении иона Sr^{2+} на Ce^{3+} в кристалле SrF_2 . Использовалась модель кластера, внедренного в решетку точечных зарядов [18].

Для учета релаксации окружающих дефект ионов позиции ионов в кластере и параметры внешнего кулоновского поля корректировались в соответствии с данными, рассчитанными по программе MOLSTAT. Моделировалось $4f^1$ -состояние иона Ce^{3+} , при этом внешний электрон помещался на молекулярную орбиталь t_{2u} . Как показано в [19], величина E_g , получающаяся в кластерном расчете фрагментов идеального кристалла SrF_2 с использованием локального потенциала, ниже приблизительно на 50 %, а с использованием SIC в квазиатомном варианте выше приблизительно на 30 % от соответствующего экспериментального значения. В то же время правильное получение в расчете экспериментального значения E_g носит принципиальный характер. Поскольку вакантное $5d$ -состояние иона Ce^{3+} лежит в окрестности зоны проводимости (ЗП); неверное положение в модели этой величины ведет к нефизической гибридизации Ce^{3+} $5d$ -состояния с $4s$ -состояниями МТ-сфер, центрированных в междоузлиях, и $4d$ -состояниями иона Sr^{2+} , формирующими дно ЗП [20]. Для коррекции E_g мы использовали процедуру, аналогичную использованной в работе [21]. В предположении, что погрешность в описании диэлектрической щели кристалла целиком связана с SIC-эффектом, для компенсации этой ошибки в потенциал МТ-сфер Sr и V вводилась постоянная аддитивная экранирующая добавка $\langle dv_i \rangle$, величина которой подбиралась из условия совпадения экспериментального и теоретического значений E_g . Полученные при этом значения составили $\langle dv_{\text{Sr}} \rangle = 0.33$ а.и. и $\langle dv_V \rangle = 0.35$ а.и. Значения основных параметров электронного строения иона Ce^{3+} в кристалле SrF_2 , полученные в рамках кластерного моделирования, приведены в табл. 3.

Обсудим подробное влияние размерных эффектов на полученные результаты. Из данных, приведенных в табл. 3, видно, что увеличение размеров кластера приводит к уменьшению приблизительно на



Одноэлектронные диаграммы кластеров, моделирующих электронное строение примеси Ce^{3+} в кристаллах SeF_2 .

А — случай идеального кристалла, кластер $[\text{Sr}_{13}\text{V}_{12}\text{F}_{32}]$ (O_h),
 В — кластер $[\text{CeSr}_{12}\text{V}_{12}\text{F}_{32}]$ (O_h), расчет без учета релаксации решетки, С — кластер $[\text{CeSr}_{12}\text{V}_{12}\text{F}_{32}]$ (O_h), расчет с учетом релаксации решетки, Д — кластер $[\text{CeV}_6\text{F}_8]$ (C_{4v}), расчет с учетом релаксации решетки.

0.5 eV разницы между 4f- и 5d-состояниями Ce^{3+} . Полученное изменение связано со сравнительно высокой степенью пространственного распределения 5d-состояний, а следовательно, и с возникающими погрешностями при описании этих состояний кластерами небольших размеров. Учет релаксации в кластерах октаэдрической симметрии, с точки зрения электронного строения самой примеси, приводит в основном к увеличению значения величины расщепления 5d-состояний октаэдрическим кристаллическим полем $10Dq$. Этот расчетный результат связан с тем, что хорошо локализованные 4f-состояния Ce^{3+} слабо чувствуют сдвиги окружающих ионов, в то время как величина расщепления делокализованных 5d-состояний обратно пропорциональна r^5 , где r — расстояние металл-лиганд [22].

Метод внедренного кластера в принципе позволяет сопоставить полученные данные для фрагментов идеального кристалла и для дефекта и тем самым установить положение состояний дефекта относительно валентной зоны идеального кристалла (см. рисунок). Полученные данные показывают, что в данном аспекте учет релаксации играет определяющую роль. Результирующее положение 4f¹-состояния Ce^{3+} в первую очередь определяется суммарным действием двух эффектов: увеличением маделунговского потенциала в позиции иона при замеще-

нии иона Sr^{2+} на Ce^{3+} и уменьшением соответствующих вкладов на ионах F^- , составляющих ближайшее окружение примеси.

Сравним полученные нами результаты с известными из литературы экспериментальными данными. Очевидно, что наиболее корректно проводить сравнение по относительным параметрам. Полученное нами расчетное значение расщепления уровня $5d$ в кубическом поле (1.27 eV) удовлетворительно согласуется с экспериментальным значением 1.38 eV [2]. Проанализируем данные, полученные в результате расчетов по расщеплению уровней t_{2g} и e_g при понижении локальной симметрии от O_h к C_{4v} . Из практики и теории известно [22], что в подавляющем большинстве неорганических соединений искажение энергетических уровней вследствие понижения симметрии можно рассматривать как возмущающее действие или как дальнейшее расщепление по отношению к уровням кубического поля. При этом расщепления, вызванные понижением симметрии, сравнимы со спин-орбитальным расщеплением и практически на порядок меньше, чем расщепление в кубическом поле. Полученные нами результаты находятся в соответствии с этим положением. Наши расчеты были проведены без учета спин-орбитального (SL) расщепления. SL-взаимодействие в $5d$ -оболочке для случая тетрагонального поля должно приводить к расщеплению уровня e на два подуровня. Таким образом, для нашего случая с учетом кристаллического и SL-расщеплений должны существовать пять полос поглощения, что согласуется с интерпретацией экспериментальных результатов в работе [13]. Оценивая SL-расщепление с использованием известной приближенной формулы для фактора SL-расщепления ξ для случая редкоземельных ионов [23]

$$\xi_{5d} = 0.00312(Z - 35)^4 \text{ cm}^{-1},$$

получаем для церия $\xi_{5d} = 0.11 \text{ eV}$. Тогда, применяя правило интервалов Ланде, используемое для определения энергий SL-уровней [22], получаем, что уровень e , соответствующий $5d$ -состоянию Ce^{3+} (7.91 eV), должен расщепляться на два подуровня: 8.02 и 7.85 eV . Полученные нами результаты и экспериментальные данные [2] приведены в табл. 4. Экспериментальные результаты [2] приведены нами в интерпретации [3], проведенной с учетом SL-взаимодействия. Полученные расчетные

Таблица 4

Энергии возбужденного состояния центра Ce^{3+} по
данным кластерного моделирования для кластера
[CeSr₁₂V₁₂F₃₂] с учетом релаксации решетки в сравнении с
экспериментальными данными по оптическому поглощению [2] (eV)

Энергетические уровни	Теория	Эксперимент
b_1	4.73	4.17
a_1	5.07	—
b_2	5.77	6.05
e'	5.85	6.24
e''	6.02	6.62

П р и м е ч а н и е. e' и e'' — спин-орбитальное расщепление уровня e .

данные скорректированы на 2 eV в соответствии с разницей расчетной и экспериментальной величин по энергетическому уровню свободного иона Ce³⁺ (табл. 1). Из анализа табл. 4 видно, что результаты моделирования примеси Ce³⁺ в SrF₂ качественно хорошо согласуются с экспериментальными данными. Это позволяет сделать вывод об адекватности используемой теоретической методики в моделировании электронного строения кристаллов фторида стронция, активированного церием, и обосновывает возможность обобщения используемых моделей на расчет примесей редкоземельных элементов в кристаллах с более сложной кристаллической структурой.

Проведение настоящей работы стало возможным благодаря грантам Российского фонда фундаментальных исследований (№ 95-03-08021) и Государственного комитета РФ по высшему образованию.

Список литературы

- [1] C.W.E van Eijk, J. Andriessen, P. Dorenbos, R. Visser. Nucl. Instr. Meth. **A348**, 546 (1994).
- [2] E. Loh. Phys. Rev. **154**, 2, 270 (1967).
- [3] W.J. Manthey. Phys. Rev. **B8**, 9, 4086 (1973).
- [4] R. Visser, J. Andriessen, P. Dorenbos, C.W.E. van Eijk. J. Phys.: Cond. Matter. **5**, 5887 (1993).
- [5] О.Т. Антоняк, И.В. Китык, Н.С. Пидзырайло. Оптр. и спектр. **69**, 3, 606 (1990).
- [6] J. Corich, C.R.A. Catlow, P.W.M. Jacobs, S.H. Ong. Phys. Rev. **B25**, 10, 6425 (1982).
- [7] H. Suzuki, T.A. Tombrello, C.L. Melcher, J.S. Schweitzer. Nucl. Instr. Meth. **A320**, 263 (1992).
- [8] C.L. Melcher, J.S. Schweitzer. Nucl. Instr. Meth. **A314**, 212 (1992).
- [9] W.W. Moses, S.E. Derenzo, A. Fyodorov et al. IEEE Trans. Nucl. Sci. In press (1995).
- [10] P. Dorenbos, C.W.E. van Eijk, A.J.J. Boss, C.L. Melcher. J. Phys.: Cond. Matter. **6**, 4167 (1994).
- [11] J. Andriessen, P. Dorenbos, C.W.E. van Eijk. Mol. Phys. **74**, 3, 535 (1991).
- [12] Theory of an inhomogeneous electron gas / Ed. S. Lundqvist, N.H. March. Plenum Press. N.Y. (1983).
- [13] J.P. Desclaux. Comp. Phys. Commun. **9**, 31 (1975).
- [14] К. Тейлор, М. Дарби. Физика редкоземельных соединений. М. (1974). 376 с.
- [15] J.L. Gavartin, C.R.A. Catlow, A.L. Shluger, A.N. Varaksin, Yu.N. Kolmogorov. Modelling Simul. Mater. Sci. Eng. **1**, 29 (1992).
- [16] C.R.A. Catlow, M.J. Norgett. Phys. C: Solid State Phys. **6**, 1325 (1973).
- [17] K.E. Wapenaar, C.R.A. Catlow. Solid State Ionics **2**, 245 (1981).
- [18] А.Ю. Кузнецов, А.Б. Соболев, И.Н. Огородников, А.В. Кружалов. ФТТ **36**, 12, 3530 (1994).
- [19] А.Б. Соболев. ФТТ **35**, 9, 2509 (1993).
- [20] А.Б. Соболев, А.Ю. Кузнецов, А.Н. Вараксин, О.А. Кеда. ФТТ **38**, 5, 1564 (1995).
- [21] А.Б. Соболев. ФТТ **36**, 10, 2926 (1994).
- [22] А.С. Марфунин. Введение в физику минералов. М. (1974). 324 с.
- [23] М.А. Ельяшевич. Спектры редких земель. М. (1953). 456 с.